

669.14.018.29: 539.125.5: 539.56: 669.15'74-194.2: 620.178.7: 517.3

討17 電位差法による原子炉圧力容器用鋼材の J_{IC} , J-Rカーブの測定と 中性子照射脆化評価への適用

日本原子力研究所 東海研 古平恒夫 松本正勝

中島伸也

1. 緒言 原子炉圧力容器構造安全性の評価には、中性子照射前後における鋼材、破壊靶性を知ることが不可欠である。照射材の破壊靶性試験を実施するには、原子炉内スペース、ホットセル内での操作性等の制約から小型試験片を用いる必要があり、さらに、簡便な手法で、なるべく少數の試験片で破壊靶性が求まることを望ましい。著者らは、 J_{IC} 試験を有望と考え一連の研究を実施してきた¹⁾。本報告では、破壊開始点及びき裂進展量(Δa)の測定手段として直流電位差法を用い、单一試験片により J_{IC} 値及びJ-Rカーブを求める手法を検討し、さらに、遷移領域から上部棚域(へき用から延性破壊)にわたる J_{IC} の試験片サイズ依存性、シャルビ衝撃性質との相関等、中性子照射脆化評価のため J_{IC} 試験法の適用性を検討した結果を紹介し併せて、サーベイランス試験に関する一試案を提案するものである。

2. 電位差法の理論 Johnson²⁾は、図1に示す中央切欠きを有する有限板において、解析的検討を加え以下の式を得た。

$$V(a)/V(a_0) = \cosh^{-1} \{ (\cosh \pi Y/w) / (\cosh \pi a/w) \} / \cosh^{-1} \{ (\cosh \pi Y/w) / (\cosh \pi a_0/w) \} \quad \dots \dots (1)$$

ここで、 V は切欠き両側、距離 a における2点間の電位差であり、 a_0 は予き裂長さ、 a は任意のき裂長さ、 w は試験片幅である。この式から、き裂長さと電位差の関係は、材料、温度にかかわりなく、幾何学的形状、寸法のみに依存することわかる。したがって、定量的なき裂長さと測定の電位差変化を知ることによつて可能となる。

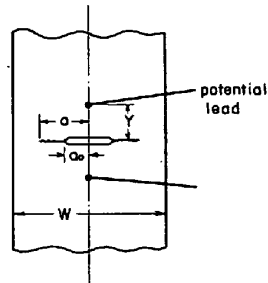


図1 切欠き付有限板

3. 実験方法

表1 供試材の化学成分

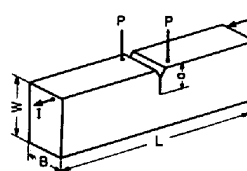
3.1 供試材及び試験片 本実験には4種類の圧力容器用鋼材を使用した。供試材の化学成分を表1に示す。これら供試材のT/4部より、シャルビ衝撃試験片、3点曲げ試験片等を採取した。図2に今回用いた3点曲げ試験片の形状、寸法を示す。さらに、中性子

記号	鋼種	C	Si	Mn	P	S	Ni	Cr	Mo	Cu
A	A533B-1	0.22	0.21	1.35	0.006	0.004	0.66	0.14	0.50	0.03
B	A533B-1	0.18	0.22	1.48	0.007	0.007	0.66	0.20	0.57	0.01
C	A508-3	0.18	0.27	1.35	0.007	0.005	0.76	0.11	0.50	0.04
D	2 1/4 Cr-1 Mo	0.16	0.29	0.54	0.013	0.007	0.04	2.13	1.01	0.07

照射脆化を模擬するために、A材、T/4部より角材を切り出し、石英管に真空封入後、900°C × 1 hr 保持、水冷、熱処理を施し、シャルビ3点曲げ試験片等を同様に採取した。なお、これら試験片の長手方向は、圧延方向に直角とし、ノッチは板厚方向に加工した。3点曲げ試験片は、ASTM E399に準拠し、室温にて疲れき裂を導入した。さらに、

3点曲げ試験片には、直流電位差法を適用するため、通電用端子及び図2のPとP'を示す位置にそれを取付けたが、とくに電位差端子間距離については、試験片間で相似な位置になるよう配慮した。

3.2 3点曲げによる J_{IC} 試験 3点曲げ試験は、電気油圧サーボ式、容量10トン、試験機を使用し、クロスヘッド速度0.5~1.0 mm/minで、試験温度は-90°Cから+100°C、間、数温度を行った。荷重支点間隔Sは試験片幅Wの4倍とし、試験中は試験片中央の荷重点における荷重方向、変位(以下変位といふ)を試験機下部のアクチュエータに取付けられた変位計により検出し、ロードセル出力を合わせて荷重-



B	W	L	a
10	10	55	-5
10	20	110	-10
20	20	110	-20
20	40	200	-20

Unit : mm

変位曲線をX-Yレコーダに記録し、以後の解析に供した。

破壊開始点を求めたために、今回は2つの方法を採用した。1つはRカーブ法であり、他、1つは直流電位差法である。後者におけることは、図3に示すように、試験片端に一定の直流電流(10A~30A)を流し、き裂近傍に取付けた電位差端子より電位差を検出し、X-Yレコーダに入力し、この電位差-時間曲線の傾きが急変する点を破壊開始点とした。丁度は、以下のRiceら³⁾による簡便式により求めた。

$$J = 2A/B(W-a) \quad \dots \dots \dots (2)$$

ここで、A:荷重-変位曲線下の面積、B:試験片厚さ、W:試験片幅、a:き裂長さである。

3.3 き裂長さa、き裂進展量△aの測定 3点曲げ試験終了後、試験片を液体窒素に没漬して取り出し、衝撃的・脆性破壊させられ、または疲労により破面が現出させ、き裂長さa及びき裂進展量△aの測定を1/1000目盛の工具顕微鏡を行った。き裂長さはASTM E399に準拠し、図4に示すように3ヶ所の平均とし、一方△aはASTM J_{IC}試験方法案を参考にして、表面から裏面にかけて等間隔に9点の測定を行い、平均値を△aとした。

4. 実験結果及び考察

4.1 電位差法及びRカーブ法によるJ_{IC}値の測定

3点曲げによるJ_{IC}破壊非性試験時の荷重-変位曲線及び電位差変化曲線、代表例を図5に示す。同図はB材の場合であり、室温にて20Aを通電している。電位差はあらかじめ試験片の初期電位差をオフセット回路によりキャンセルし、零からスタートするよう配慮した。電位差変化は全断面降伏時に屈曲点を生じ、以後直線的に増加し、この直線からずれるオフセット変化点があり、その後より急勾配で電位差が増加していく。著者らの一連の実験¹⁾により、このオフセット変化点が延性破壊の開始点とみなしえるといえども、これが明らかであり、今回もこの点をもって破壊開始点とした。そして、この点を荷重-変位曲線上に読み取り、(2)式によりJ_{IC}値を求めた。

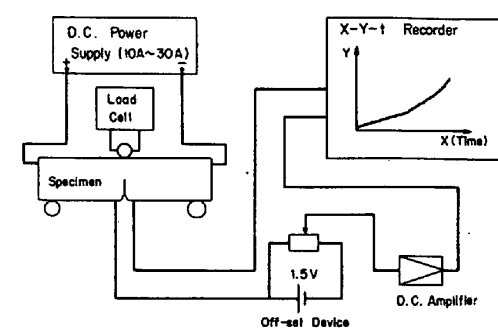


図3 電位差測定回路図

$$a_0 = \frac{a_1 + a_2 + a_3}{3}$$

Δa : average value of nine points from front to back surface.

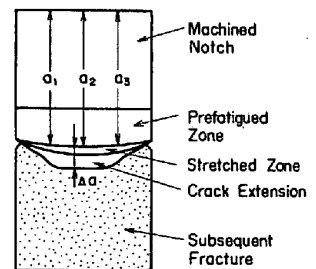


図4 a, △a の測定位置

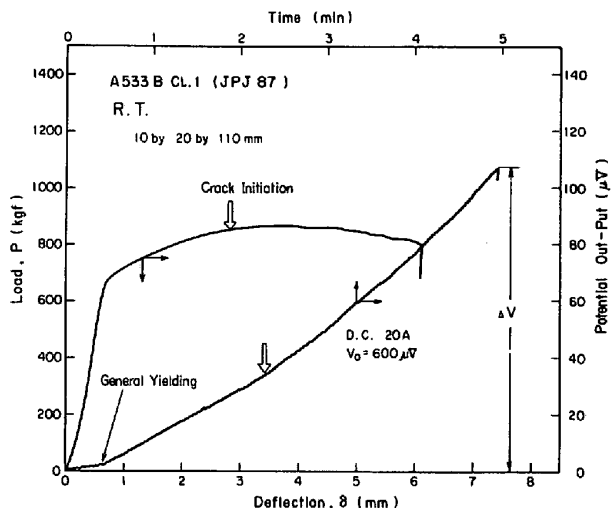


図5 電位差法による3点曲げ試験結果の一例

A材の20×40×200mmの試験片の電位差法によるJ_{IC}試験結果を表1に示す。いずれもvalid J_{IC}基準を満たしており、平均350kJ/m²のJ_{IC}値が得られた。図6は、A材の同じ形状寸法(20×40×200mm)の試験片におけるRカーブ法による室温の試験結果を示している。同図から、ASTM推奨の鉄化直線(20_{flow}△a)は実験点と合わず、電位差法はJ_{IC}よりも高い値を与えることがわかる。

一方、著者ら(3.70_y△a)¹⁾及び小林ら(SZW = 95 J/E)の式によるとJ_{IC}値は、電位差法の結果と良好な一致を示すことが明らかとなる。

表2 電位差法によるJ_{IC}試験結果(kJ/m²)(室温)

371.6	361.2	平均
245.2	423.6	350.4

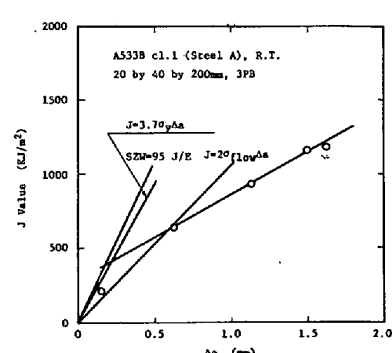


図6 Rカーブ法によるJ_{IC}

4.2 電位差法によるJ-Rカーブの推定 (1)式から明らかなように、3点曲げ試験の場合でも電位差変化より $\Delta\alpha$ を求めることが原理的に可能であるが、疲れき裂伝播の場合に比べてき裂先端の塑性域が極端に大きく、この影響を把握しておく必要がある。そこで、-60°C~+100°Cの間の数温度において表1に示す4種類の鋼材用い、直流電位差法を適用して、3点曲げ試験を実施した。試験中は図5のように電位差変化を記録し、電位差変化量としては全変化量を ΔV とした。また $\Delta\alpha$ は図4に示す要領で測定した。そして、 $(V_0 + \Delta V)/V_0$ と $(\alpha_0 + \Delta\alpha)/\alpha_0$ の関係をプロットすると図7のようになる。ここで、 V_0 及び α_0 はそれを初期電位差及び予き裂長さとする。同図より、電位差端子位置も含めた試験片、平面寸法が相似な場合は、鋼種、試験温度にかかわりなくバラツキ少しき一定の傾向が認められる。以後これをマスター・カーブと呼ぶ。なおき裂長さと電位差変化との関係が1:1ではなく $(V_0 + \Delta V)/V_0$ 側にあるのは、疲れき裂伝播試験を実施して検討した結果、塑性域の影響であることが今回明らかとなった。

図8は、このマスター・カーブを用いて、单一試験片によりJ- $\Delta\alpha$ の関係を求める手法を示したものである。荷重-変位曲線よりJ値を求め、電位差変化曲線よりマスター・カーブを介して $\Delta\alpha$ を知り、J-Rカーブを推定する方法である。

図9は、上記の電位差法による单一試験片で求めたRカーブと実測データを比較して示す。 $20 \times 40 \times 200\text{mm}$ のA材を用い、室温、結果である。データ点は、同一形状寸法の多数の試験片を種々の変位まで負荷してJと $\Delta\alpha$ を求めたものであり、いわゆるMultiple Specimen法による結果である。電位差法によるRカーブは、最大変位した試験片(図中の黒印)の荷重-変位曲線及び電位差変化曲線より図7のマスター・カーブを用いて求めたものである。同図から、 $\Delta\alpha$ の小さいところではやや合わないが、 $\Delta\alpha$ が大きくなると予測と実測Rカーブが良好な一致を示し、单一試験片でRカーブを推定することが可能であることが明らかとなる。

4.3 中性子照射脆化評価への適用とサーベイランス試験に関する一試案

前述のように、原子炉圧力容器の健全性を調べるために、

炉内に各種試験片を装荷し、定期的に炉外に取出してサーベイランス試験を行っているが、炉内スペース、ホットセル内での操作性等の制約から小型試験片でなければならぬ。そこで、A材(以下受領材とす)及び中性子照射脆化を模擬して低靱性鋼材を得るためにA材を熱処理した熱処理材を用い、遷移領域から上部棚域にわたって小型3点曲げによるJ_{IC}試験法の中性子照射脆化評価への適用性を検討した。

図10は、受領材とまき材及び熱処理材のシャルビ衝撃試験結果を示している。同図から、熱処理を施したことにより、遷移温度が上昇し、上部棚エネルギーが低下していることが明らかである。この傾向は、

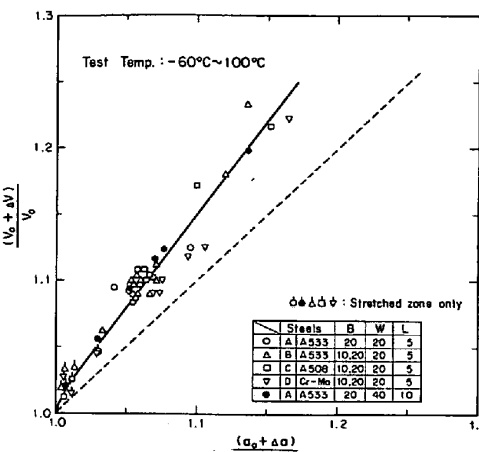


図7 き裂長さと電位差変化との関係(マスター・カーブ)

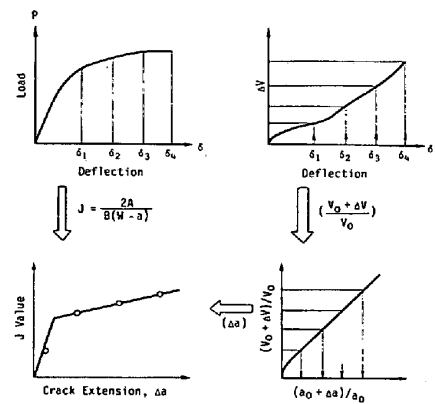


図8 マスター・カーブを用いたJ-Rカーブの推定方法

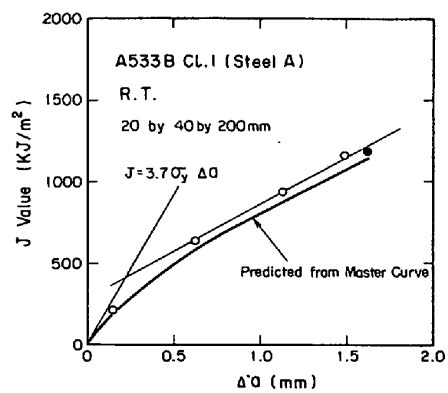


図9 電位差法によるRカーブと実測データとの比較

中性子照射脆化挙動と全く一致しており、熱処理が成功裡に行われたことがわかる。今回の結果を、従来から中性子照射脆化評価に用いられてる $41\text{J}^4)$ で遷移温度の上昇を求めると 70°C となる。一方、上部棚エネルギー低下率は約 30% である。

図11は3点曲げによる J_{IC} 試験結果を示す。試験片は主に 10° 及び 20° の2種類を用いており、傾向をそれぞれ破線及び実線で示す。なお、J値よりK値への変換は $K = \sqrt{JE/(1-\nu^2)}$ により行った。遷移領域ではほぼすべて脆き開破壊であり、受領、まま戻し熱処理材とともにデータは valid J_{IC} 基準を満たすのに J_{IC} に試験片サイズ依存性が認められる。しかし、遷移温度の上昇を $100\text{MPa}\sqrt{\text{m}}$ のレベルで比較すると、シフトは試験片サイズにかかわりなくほぼ同一で、なおかつ、図10のシャルビの遷移温度の上昇と良く一致するという重要な知見が得られた。上部棚域においては、破壊モードはディンプルであり、受領、まま戻し熱処理材では口印 ($20 \times 40 \times 200\text{ mm}$) が J_{IC} となるが、他の2種類は valid J_{IC} 基準を満たさない。一方、熱処理材では 10° , 20° ともに J_{IC} が得られており、受領、まま戻し熱処理材との間に破壊非性、低下率を比較すると、試験片によりその率は異り、大型から順番に 45%, 39%, 34%となり、 10° のシャルビ上部棚エネルギーの低下率と同等になることがある。

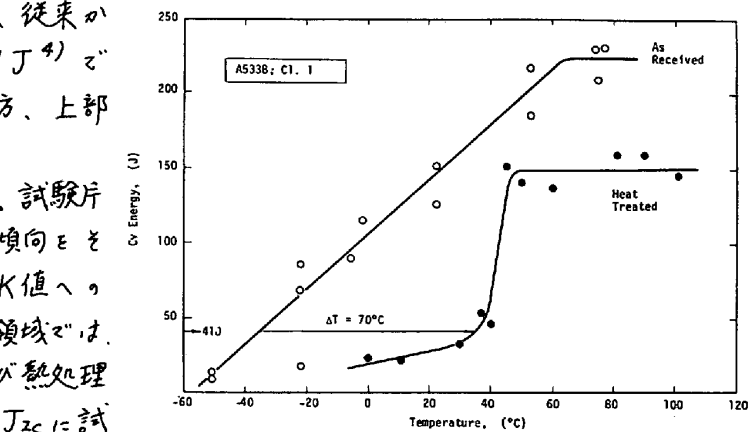


図10 シャルビ衝撃試験結果

したがって、上部棚域ではシャルビ吸収エネルギーから破壊非性、低下率、推定は危険側にあり、 J_{IC} 試験を適用しなければならない。

図12は、以上の結果をもとに、サーベイランス試験に対する一試案を示したものである。すなわち、照射前に遷移領域から上部棚域にかけてシャルビ遷移曲線及び破壊非性、温度依存性を求めておく。そして、遷移領域では、サーベイランス試験と同一のシャルビで 41J におけるシフト (ΔT_{CV}) を求め、それから破壊非性を $100\text{MPa}\sqrt{\text{m}}$ のレベルでこの分だけずらせる。シャルビ主体の方法を採用する。一方、上部棚域では、サーベイランス試験片と同一の J_{IC} 試験片を組み込み、照射前後ともに J_{IC} 試験を実施して評価する方法である。

参考文献

- 古平, 中島, 松平, 鉄と鋼, 64(1978), 7, 877-890,
- H.H.Thomson, Mat. Res. and Standards, 5 (1965), 442-445,
- J.R.Rice et al., ASTM-STP-536 (1973),
- 日本電気協会 JEAC 4201 (1980)

図12 サーベイランス試験に関する一試案

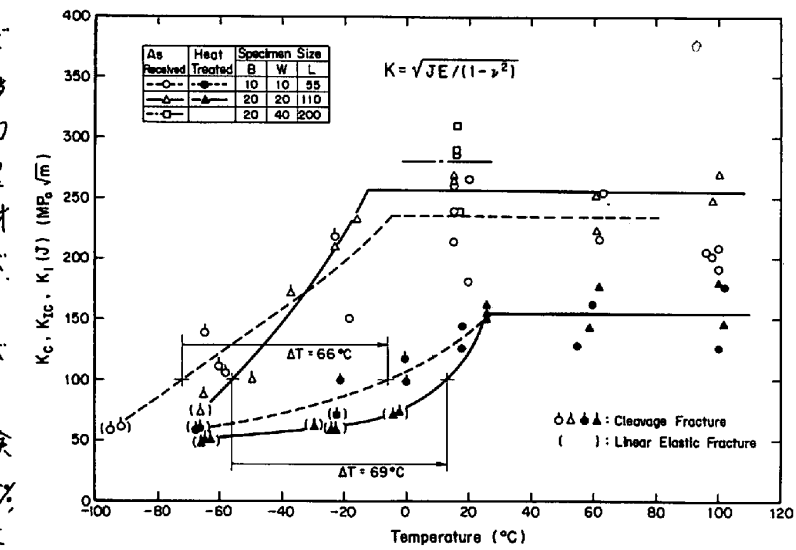


図11 供試材の破壊非性、温度依存性

